

# ODABRANA POGLAVLJA BETONSKIH KONSTRUKCIJA

Master akademske studije, I semestar

Prof dr Stanko Brčić  
email: stanko@np.ac.rs

Departman za Tehničke nauke  
Državni Univerzitet u Novom Pazaru

2015/16



# Sadržaj

- 1 Proračun silosa prema EN 1991-4:2006
  - Osnovne pretpostavke i klasifikacije prema EC1, deo 4
  - Karakteristike materijala u silosu
  - Vrste protoka materijala u silosu
- 2 Opterećenja na vertikalne zidove silosa
  - Opšte napomene
  - Vitki silosi - opterećenja pri punjenju
  - Vitki silosi - opterećenje pri pražnjenju
- 3 Vitki silosi - nastavak
  - Zamenjujući pritisci
  - Isticanje sa velikim ekscentricitetom: klasa AAC 2
  - Isticanje sa velikim ekscentricitetom: klasa AAC 3



# Sadržaj

- 1 Proračun silosa prema EN 1991-4:2006
  - Osnovne pretpostavke i klasifikacije prema EC1, deo 4
  - Karakteristike materijala u silosu
  - Vrste protoka materijala u silosu
- 2 Opterećenja na vertikalne zidove silosa
  - Opšte napomene
  - Vitki silosi - opterećenja pri punjenju
  - Vitki silosi - opterećenje pri pražnjenju
- 3 Vitki silosi - nastavak
  - Zamenjujući pritisci
  - Isticanje sa velikim ekscentricitetom: klasa AAC 2
  - Isticanje sa velikim ekscentricitetom: klasa AAC 3



# Evrokod 1 EN 1991-4:2006

BRITISH STANDARD

BS EN  
1991-4:2006

## Eurocode 1 — Actions on structures —

Part 4: Silos and tanks



# Tehnički propisi za proračun silosa

## EN 1991-4:2006 - predmet razmatranja

- Evrokod 1 (EN 1991) obezbeđuje opšte principe i dejstva u proračunima zgrada i drugih građevinskih konstrukcija, uključujući i geotehničke aspekte
- Evrokod 1 ne odnosi se na posebne projektne situacije i objekte, kao što su nuklearne elektrane i sl.
- Evrokod 1, Deo 4, posvećen je analizi opterećenja, a time i načinu proračuna, silosa za rastresite materijale i rezervoara za tečnosti



# Tehnički propisi za proračun silosa

## EN 1991-4:2006 - predmet razmatranja

- Određivanje opterećenja, prema **EN 1991-4:2006**, primenjuje se na konstrukcije za skladištenje rastresitog materijala (kao i tečnosti), uz sledeća **geometrijska ograničenja**:
  - oblici poprečnih preseka su ograničeni na preseke prikazane na slici (d) (dozvoljavaju se i manja odstupanja)
  - geometrijske mere ograničene su uslovima

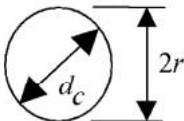
$$h_b/d_c < 10 \quad h_b < 100 [m] \quad d_c < 60 [m]$$

- prelazna oblast pripada jednoj horizontalnoj ravni (slika (a))
- unutrašnjost silosa ne sadrži elemente kao što su konus ili piramida, sa vrhom na gore, ili poprečne grede i slično
- pravougaoni silosi mogu da sadrže unutrašnje veze (recimo zatege)

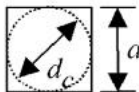


# Evrokod 1 EN 1991-4:2006: poprečni preseći

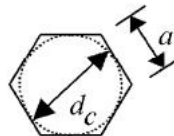
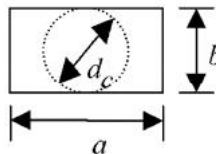
$$A/U = r/2$$



$$A/U = a/4$$



$$A/U = (b/2) / (1 + b/a)$$

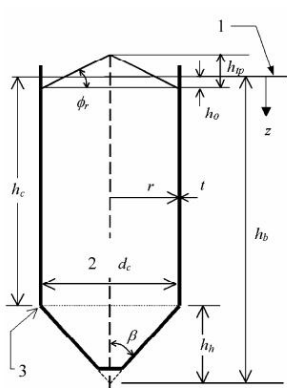


$$A/U = \sqrt{3} (a/4) = d_c/4$$

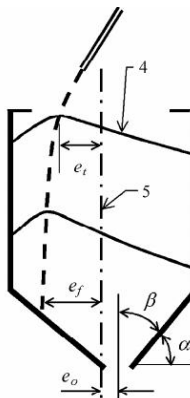
d) Cross-section shapes



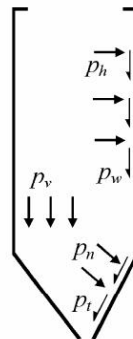
# Evrokod 1 EN 1991-4:2006: geometrija silosa



a) Geometry



b) Eccentricities



c) Pressures and tractions





# Tehnički propisi za proračun silosa

## EN 1991-4:2006 - predmet razmatranja

- Na slikama (a) i (b) uvedene su oznake:
  - 1 ...ekvivalentna površ
  - 2 ...unutrašnja dimenzija (prečnik)
  - 3 ...prelazna oblast
  - 4 ...profil površi materijala u silosu (pun silos)
  - 5 ...centralna linija (osa) silosa
- Na slici (c) prikazane su oznake za pritiske u silosu:
  - $p_v$  ...vertikalni pritisak
  - $p_h$  ...horizontalni pritisak
  - $p_w$  ...trenje po zidovima
  - $p_n$  ...normalni pritisak na zidove levka
  - $p_t$  ...tangencijalni pritisak na zidove levka



# Tehnički propisi za proračun silosa

## EN 1991-4:2006 - predmet razmatranja

- Usvajaju se sledeća ograničenja vezano za **uskladišteni rastresiti materijal** u određivanju opterećenja prema EN 1991-4:2006:
  - silosi se projektuju za definisane intervale vrednosti osobina uskladištenog materijala
  - uskladišteni materijal slobodno teče u silosu
  - najveće zrno uskladištenog materijala nije veće od  $0.03 d_c$
- Usvajaju se sledeća ograničenja vezano za **punjenje i pražnjenje materijala**:
  - prilikom punjenja javljaju se zanemarljivi inercijalni efekti i udarne sile
  - kada se koristi oprema za pražnjenje silosa, tečenje materijala je glatko i centralno



# Tehnički propisi za proračun silosa

## EN 1991-4:2006 - predmet razmatranja

- Posmatraju se samo silosi kod kojih je **levak za ispuštanje** uskladištenog materijala
  - konusnog oblika (rotaciono simetričan)
  - oblika piramide sa četvorougaoном osnovom
  - klinastog oblika sa vertikalnim zidovima na kraju
- Ostali oblici levka za isticanje nisu obuhvaćeni standardnom EC1, deo 4
- Silosi sa sistematično nesimetričnom geometrijom nisu obuhvaćeni standardom



# Proračun silosa prema EN 1991-4:2006

## EN 1991-4:2006 - klasifikacija silosa

- Evrokod 1, deo 4, odnosi se na **silose i rezervoare**
- **Klasifikacija dejstava** na silose prema EC1, Deo 4:
  - opterećenja usled uskladištenog materijala u silosu su, načelno, **promenljiva (korisna) dejstva**
  - simetrična opterećenja u silosu su **promenljiva stalna** dejstva
  - lokalna dejstva vezana za punjenje i pražnjenje silosa posmatraju se kao **promenljiva slobodna** dejstva
  - ekscentrična opterećenja usled ekscentičnog punjenja ili pražnjenja posmatraju se kao **promenljiva stalna** dejstva
  - opterećenja usled eksplozije prašine uskladištenog materijala posmatraju se kao **incidentna** opterećenja



# Proračun silosa prema EN 1991-4:2006

## EN 1991-4:2006 - klasifikacija silosa na klase

- U zavisnosti od **kapaciteta silosa**, kao i od nekih geometrijskih dimenzija, silosi se dele na **tri klase: "Action Assesment Class"** (klase prema proceni dejstava)
- Klase silosa određuju se prema **uslovima pojedinačnih ćelija** silosa, a ne prema svim ćelijama u bateriji silosa
- Preporučeni kriterijumi podele silosa na klase su:
  - **Klasa 3 (AAC 3)** ...silos sa kapacitetom koji je veći od 10 000 tona
  - **Klasa 2 (AAC 2)** ...svi silosi na koje se odnosi standard EC1, deo 4, a koji nisu svrstani u druge klase
  - **Klasa 1 (AAC 1)** ...silosi sa kapacitetom manjim od 100 tona (u nacionalnim dokumentima mogu da se promene kriterijumi)
- Podela silosa na klase AAC vezana je za nesigurnosti procene dejstava sa odgovarajućom preciznošću

# Proračun silosa prema EN 1991-4:2006

## EN 1991-4:2006 - klasifikacija silosa na klase

- Silosi koj spadaju u **Klasu 3 (AAC 3)** imaju i dodatne kriterijume klasifikacije:
  - silos sa kapacitetom koji je veći od 10 000 tona
  - silos sa kapacitetom većim od 1000 tona, ako postoji bilo koja od projektnih situacija:
    - (a) ekscentrično pražnjenje sa  $e_o/d_c > 0.25$
    - (b) zdepasti silos sa ekscentricitetom na vrhu  $e_t/d_c > 0.25$
- Viša klasa silosa može da bude usvojena od strane nacionalnih autoriteta (nacionalnih tela)
- Za silose Klase 1 mogu da se u proračunu koriste odredbe uprošćenog proračuna date u EC1, deo 4



# Evrokod 1 EN 1991-4:2006

Table 2.1: Recommended classification of silos for action assessments

Action Assessment Class	Description
Action Assessment Class 3	Silos with capacity in excess of 10 000 tonnes Silos with capacity in excess of 1000 tonnes in which any of the following design situations occur: a) eccentric discharge with $e_f/d_c > 0,25$ (see figure 1.1b) b) squat silos with top surface eccentricity with $e_f/d_c > 0,25$
Action Assessment Class 2	All silos covered by this standard and not placed in another class
Action Assessment Class 1	Silos with capacity below 100 tonnes

Preporučena klasifikacija silosa prema oceni dejstava na silose



# Proračun silosa prema EN 1991-4:2006

## EN 1991-4:2006 - dejstva na silose

- Dejstva na silose i rezervoare određuju se u skladu sa Evrokodom 0
- Projektne situacije opterećenja za silose zavise od karakteristika tečenja uskladištenog materijala
- Kombinacije proračunskih opterećenja usvajaju se u skladu sa odredbama Evrokoda 0
- Sledeće **incidentalne situacije** razmatraju se u proračunu silosa, ukoliko to odgovara:
  - dejstva usled eksplozija uskladištenog materijala
  - dejstva usled udara vozila u ćeliju silosa
  - seizmička dejstva
  - požarna dejstva





# Proračun silosa prema EN 1991-4:2006

## EN 1991-4:2006 - dejstva na silose

- Kombinacije opterećenja usled punjenja i pražnjenja materijala u silosu koriste se u prikazivanju proračunskih opterećenja i kombinacija u analizi graničnih stanja nosivosti i graničnih stanja upotrebljivosti
- U Evrokodu 1, deo 4, kao i u ostalim Evrokodovima za konstrukcije, postoje **principi**, označeni sa **(P)**, koji predstavljaju opšte iskaze i definicije za koje nema alternative
- Principi takođe sadrže i zahteve i analitičke modele za koje takođe nije dozvoljena alternativa, osim ukoliko se eksplicitno ne navede alternativa



# Proračun silosa prema EN 1991-4:2006

## EN 1991-4:2006 - dejstva na silose

- Osim principa, u EC1 data su i **pravila za primenu**, koja su zasnovana na principima i zadovoljavaju zahteve principa
- Dozvoljeno je da se koriste i drugačija pravila od navedenih u Evrokodu, pod uslovom da se dokaže da su druga pravila u skladu sa principima u Evrokodu i da imaju barem istu pouzdanost kao i pravila u Evrokodu



# Sadržaj

- 1 Proračun silosa prema EN 1991-4:2006
  - Osnovne pretpostavke i klasifikacije prema EC1, deo 4
  - Karakteristike materijala u silosu
  - Vrste protoka materijala u silosu
- 2 Opterećenja na vertikalne zidove silosa
  - Opšte napomene
  - Vitki silosi - opterećenja pri punjenju
  - Vitki silosi - opterećenje pri pražnjenju
- 3 Vitki silosi - nastavak
  - Zamenjujući pritisci
  - Isticanje sa velikim ekscentricitetom: klasa AAC 2
  - Isticanje sa velikim ekscentricitetom: klasa AAC 3



# Proračun silosa prema EN 1991-4:2006

## EN 1991-4:2006 - karakteristike materijala

- Relevantne karakteristike uskladištenog materijala su
  - $\gamma$  ... zapreminska težina materijala
  - $\mu$  ... koeficijent trenja materijala sa zidom silosa
  - $K$  ... odnos bočnog i vertikalnog pritiska materijala
  - $\Phi_i$  ... ugao unutrašnjeg trenja materijala
- U svim proračunima pritisaka koristi se **gornja** karakteristična vrednost **zapreminske težine**
- Karakteristične vrednosti ostalih podataka o materijalu daju se kao **srednja vrednost i faktor  $a$** , koji je veći od 1.0
- Srednja vrednost može da se množi ili da se deli sa faktorom, tako da se dobijaju različite karakteristične vrednosti



# EN 1991-4:2006: karakteristike materijala

Table E.1: Particulate solids properties

Type of particulate solid <sup>d, e</sup>	Unit weight <sup>b</sup>		Angle of repose $\phi_r$	Angle of internal friction $\phi_i$		Lateral pressure ratio $K$		Wall friction coefficient <sup>c</sup> $\mu$ ( $\mu = \tan \phi_w$ )				Patch load solid reference factor $C_{op}$
	$\gamma_\ell$	$\gamma_u$		$\phi_{im}$	$a_\phi$	$K_m$	$a_K$	Wall type D1	Wall type D2	Wall type D3	$a_\mu$	
	Lower	Upper		Mean	Factor	Mean	Factor	Mean	Mean	Mean	Factor	
	kN/m <sup>3</sup>	kN/m <sup>3</sup>	degrees	degrees								
Default material <sup>a</sup>	6,0	22,0	40	35	1,3	0,50	1,5	0,32	0,39	0,50	1,40	1,0
Aggregate	17,0	18,0	36	31	1,16	0,52	1,15	0,39	0,49	0,59	1,12	0,4
Alumina	10,0	12,0	36	30	1,22	0,54	1,20	0,41	0,46	0,51	1,07	0,5
Animal feed mix	5,0	6,0	39	36	1,08	0,45	1,10	0,22	0,30	0,43	1,28	1,0
Animal feed pellets	6,5	8,0	37	35	1,06	0,47	1,07	0,23	0,28	0,37	1,20	0,7
Barley ☼	7,0	8,0	31	28	1,14	0,59	1,11	0,24	0,33	0,48	1,16	0,5
Cement	13,0	16,0	36	30	1,22	0,54	1,20	0,41	0,46	0,51	1,07	0,5
Cement clinker ☼	15,0	18,0	47	40	1,20	0,38	1,31	0,46	0,56	0,62	1,07	0,7
Coal ☼	7,0	10,0	36	31	1,16	0,52	1,15	0,44	0,49	0,59	1,12	0,6
Coal, powdered ☼	6,0	8,0	34	27	1,26	0,58	1,20	0,41	0,51	0,56	1,07	0,5
Coke	6,5	8,0	36	31	1,16	0,52	1,15	0,49	0,54	0,59	1,12	0,6
Flyash	8,0	15,0	41	35	1,16	0,46	1,20	0,51	0,62	0,72	1,07	0,5
Flour ☼	6,5	7,0	45	42	1,06	0,36	1,11	0,24	0,33	0,48	1,16	0,6

# EN 1991-4:2006: karakteristike materijala

Flour ☼	6,5	7,0	45	42	1,06	0,36	1,11	0,24	0,33	0,48	1,16	0,6
Iron ore pellets	19,0	22,0	36	31	1,16	0,52	1,15	0,49	0,54	0,59	1,12	0,5
Lime, hydrated	6,0	8,0	34	27	1,26	0,58	1,20	0,36	0,41	0,51	1,07	0,6
Limestone powder	11,0	13,0	36	30	1,22	0,54	1,20	0,41	0,51	0,56	1,07	0,5
Maize ☼	7,0	8,0	35	31	1,14	0,53	1,14	0,22	0,36	0,53	1,24	0,9
Phosphate	16,0	22,0	34	29	1,18	0,56	1,15	0,39	0,49	0,54	1,12	0,5
Potatoes	6,0	8,0	34	30	1,12	0,54	1,11	0,33	0,38	0,48	1,16	0,5
Sand	14,0	16,0	39	36	1,09	0,45	1,11	0,38	0,48	0,57	1,16	0,4
Slag clinkers	10,5	12,0	39	36	1,09	0,45	1,11	0,48	0,57	0,67	1,16	0,6
Soya beans	7,0	8,0	29	25	1,16	0,63	1,11	0,24	0,38	0,48	1,16	0,5
Sugar ☼	8,0	9,5	38	32	1,19	0,50	1,20	0,46	0,51	0,56	1,07	0,4
Sugarbeet pellets	6,5	7,0	36	31	1,16	0,52	1,15	0,35	0,44	0,54	1,12	0,5
Wheat ☼	7,5	9,0	34	30	1,12	0,54	1,11	0,24	0,38	0,57	1,16	0,5

NOTE Where this table does not contain the material to be stored, testing should be undertaken.

- <sup>a</sup> For situations where it is difficult to justify the cost of testing, because the cost implications of using a wide property range for the design are minor, the properties of the "default material" may be used. For small installations, these properties may be adequate. However, they will lead to very uneconomic designs for large silos, and testing should always be preferred.
- <sup>b</sup> The unit weight of the solid  $\gamma_s$  is the upper characteristic value, to be used for all calculations of actions. The lower characteristic value  $\gamma_{\ell}$  is provided in Table E.1 to assist in estimating the required volume of a silo that will have a defined capacity.
- <sup>c</sup> Effective wall friction for wall Type D4 (corrugated wall) may be found using the method defined in Annex D, D.2.
- <sup>d</sup> Solids in this table that are known to be susceptible to dust explosion are identified by the symbol ☼
- <sup>e</sup> Solids that are susceptible to mechanical interlocking are identified by the symbol ‡



# EN 1991-4:2006: karakteristike materijala

**Table 3.1: Values of properties to be used for different wall loading assessments**

Purpose:	Characteristic value to be adopted		
	Wall friction coefficient $\mu$	Lateral pressure ratio $K$	Angle of internal friction $\phi_1$
<b>For the vertical wall or barrel</b>			
Maximum normal pressure on vertical wall	Lower	Upper	Lower
Maximum frictional traction on vertical wall	Upper	Upper	Lower
Maximum vertical load on hopper or silo bottom	Lower	Lower	Upper



# EN 1991-4:2006: karakteristike materijala

Purpose:	Wall friction coefficient $\mu$	Hopper pressure ratio $F$	Angle of internal friction $\phi_i$
<b>For the hopper wall</b>			
Maximum hopper pressures on filling	Lower value for hopper	Lower	Lower
Maximum hopper pressures on discharge	Lower value for hopper	Upper	Upper
<p>NOTE 1: It should be noted that <math>\phi_{wh} \leq \phi_i</math> always, since the material will rupture internally if slip at the wall contact demands a greater shear stress than the internal friction can sustain. This means that, in all evaluations, the wall friction coefficient should not be taken as greater than <math>\tan \phi_i</math> (i.e. <math>\mu = \tan \phi_w \leq \tan \phi_i</math> always).</p> <p>NOTE 2: Hopper normal pressure <math>p_n</math> is usually maximized if the hopper wall friction is low because less of the total hopper load is then carried by wall friction. Care should be taken when choosing which property extreme to use for the hopper wall friction to ensure that the structural consequences are fully explored (i.e. whether friction or normal pressures should be maximized depends on the kind of structural failure mode that is being considered).</p>			





# Proračun silosa prema EN 1991-4:2006

## EN 1991-4:2006 - karakteristike materijala

- Osobine uskladištenog materijala, u principu, usvajaju se na osnovu eksperimenata ili prema drugim relevantnim podacima
- U uprošćenom postupku, karakteristične vrednosti poznatih rastresitih materijala u silosu treba da se usvoje prema podacima datim u Tabeli E.1
- U određivanju karakterističnih vrednosti parametara  $\mu$ ,  $K$  i  $\Phi_i$  koriste se srednje vrednosti i faktori konverzije  $a$  koji su dati u Tabeli E.1



# Proračun silosa prema EN 1991-4:2006

## EN 1991-4:2006 - karakteristike materijala

- Gornja i donja karakteristična vrednost koeficijenta trenja sa zidovima  $\mu$

$$\mu = a_{\mu} \cdot \mu_m \quad \mu = \mu_m / a_{\mu}$$

- Gornja i donja karakteristična vrednost odnosa napona  $K$

$$K = a_K \cdot K_m \quad K = K_m / a_K$$

- Gornja i donja karakteristična vrednost ugla unutrašnjeg trenja materijala  $\Phi_i$

$$\Phi_i = a_{\Phi} \cdot \Phi_{im} \quad \Phi_i = \Phi_{im} / a_{\Phi}$$



# Proračun silosa prema EN 1991-4:2006

## EN 1991-4:2006 - kategorije hrapavosti zidova

- U EC1, deo 4, usvojene su **kategorije hrapavosti zidova** silosa
- To su kategorije
  - **Kategorija D1** ... malo trenje, označeno kao "klizavo"
  - **Kategorija D2** ... umereno trenje, označeno kao "glatko"
  - **Kategorija D3** ... visoko trenje, označeno kao "hrapavo"
  - **Kategorija D4** ... nepravilno trenje
- Za zidove silosa klasifikovane kao D4, u Aneksu D data je preporuka za efektivni koeficijent trenja

$$\mu_{eff} = (1 - a_w) \tan \Phi_i + a_w \mu_w$$

gde su  $a_w$  i  $\mu_w$  definisani u delu D.2



# EN 1991-4:2006: kategorije hrapavosti zidova

Table 4.1: Wall surface definitions

Category	Descriptive title	Typical wall materials
D1	Low friction classed as "Slippery"	Cold-rolled stainless steel Polished stainless steel Coated surface designed for low friction Polished aluminium Ultra high molecular weight polyethylene <sup>a</sup>
D2	Moderate friction classed as "Smooth"	Smooth mild carbon steel (welded or bolted construction) Mill finish stainless steel Galvanized carbon steel Oxidized aluminium Coated surface designed for corrosion resistance or abrasive wear
D3	High friction classed as "Raspy"	Off form concrete, steel finished concrete or aged concrete Aged (corroded) carbon steel Abrasion resistant steel Ceramic tiles
D4	Irregular	Horizontally corrugated walls Profiled sheeting with horizontal ribs Non-standard walls with large aberrations
NOTE: The descriptive titles in this table are given in terms of friction rather than roughness because there is a poor correlation between measured wall friction between a sliding granular solid and the surface and measures of roughness.		
<sup>a</sup> The roughening effect of particles being impressed into the surface should be considered carefully for these surfaces.		



# Proračun silosa prema EN 1991-4:2006

## EN 1991-4:2006 - karakteristike materijala

- U EC1, deo 4, data su uputstva kako treba da se eksperimentalno određuju karakteristike materijala za dobijanje karakterističnih vrednosti u proračunu opterećenja
- Navodi se prihvatljiva približna formula za srednju vrednost odnosa horizontalnog i vertikalnog napona:

$$K_m = 1.1 (1 - \sin \Phi_{im}) \quad (1)$$



# Proračun silosa prema EN 1991-4:2006

## EN 1991-4:2006 - karakteristike materijala

- Postoji formula u literaturi za odnos horizontalnog i vertikalnog napona:

$$\lambda = 1 - \sin \varphi$$

a u (starim) nemačkim propisima DIN 1055, deo 6, usvojeno je

$$\lambda = 1.2 (1 - \sin \varphi)$$

- Sa  $\varphi$  je označen ugao unutrašnjeg trenja materijala, dok je  $\lambda = K$  odnos napona



# Sadržaj

- 1 Proračun silosa prema EN 1991-4:2006
  - Osnovne pretpostavke i klasifikacije prema EC1, deo 4
  - Karakteristike materijala u silosu
  - Vrste protoka materijala u silosu
- 2 Opterećenja na vertikalne zidove silosa
  - Opšte napomene
  - Vitki silosi - opterećenja pri punjenju
  - Vitki silosi - opterećenje pri pražnjenju
- 3 Vitki silosi - nastavak
  - Zamenjujući pritisci
  - Isticanje sa velikim ekscentricitetom: klasa AAC 2
  - Isticanje sa velikim ekscentricitetom: klasa AAC 3



# Proračun silosa prema EN 1991-4:2006

## EN 1991-4:2006 - vrste protoka materijala

- Kao princip, navodi se da različite vitkosti silosa (odnosi  $h_c/d_c$ ), geometrije levka i uslovi isticanja dovode do različitih proračunskih situacija koje moraju da se razmatraju
- Ako trajektorija rastresitog materijala pri punjenju silosa dovodi do ekscentrične gomile na nekom nivou, različite gustine pakovanja mogu da se realizuju u pojedinim delovima silosa
- Ova situacija može da dovede do nesimetričnih pritisaka pri punjenju silosa





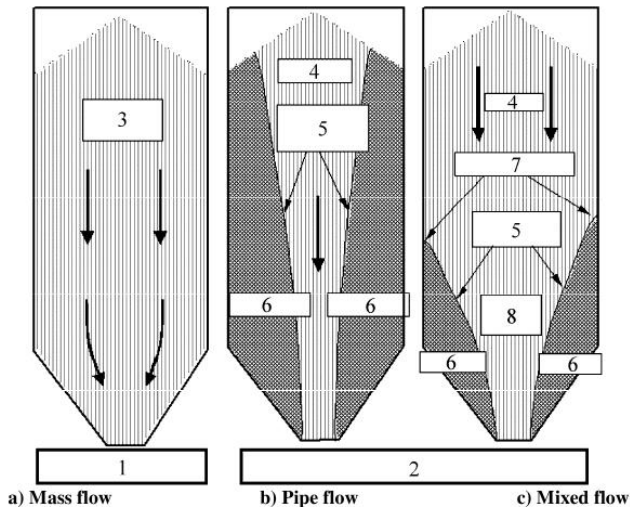
# Proračun silosa prema EN 1991-4:2006

## EN 1991-4:2006 - vrste protoka materijala

- U projektu silosa moraju da se razmatraju posledice mogućih načina isticanja materijala
- Mogu da se jave sledeći osnovni oblici isticanja materijala
  - 1 isticanje u masi ("mass flow")
  - 2 isticanje kroz kanal ("pipe flow")
  - 3 mešovito isticanje ("mixed flow")
- Isticanje celom masom je najjednostavnije, a isticanje kroz kanal ima više različitih oblika



# EN 1991-4:2006: osnovni oblici isticanja



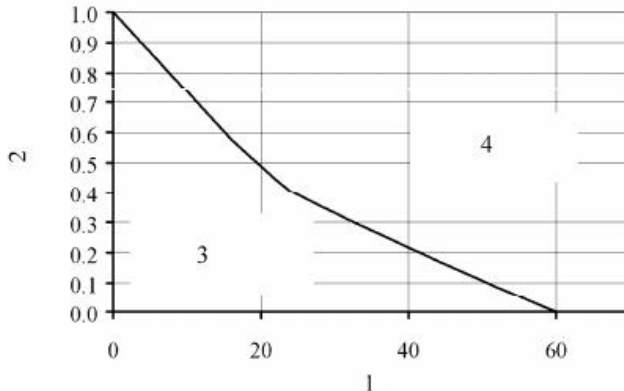
# Proračun silosa prema EN 1991-4:2006

## EN 1991-4:2006 - osnovni oblici isticanja

- Legenda uz prethodnu sliku:
  - 1 isticanje celom masom
  - 2 isticanje kroz levak
  - 3 sav materijal u pokretu
  - 4 tečenje
  - 5 granica kanala tečenja
  - 6 stacionarno (miruje)
  - 7 efektivni prelaz
  - 8 efektivni levak
- Tamo gde se odvija tečenje kroz levak koje je uvek unutar rastresitog materijala, pritisci prilikom pražnjenja mogu da se zanemare



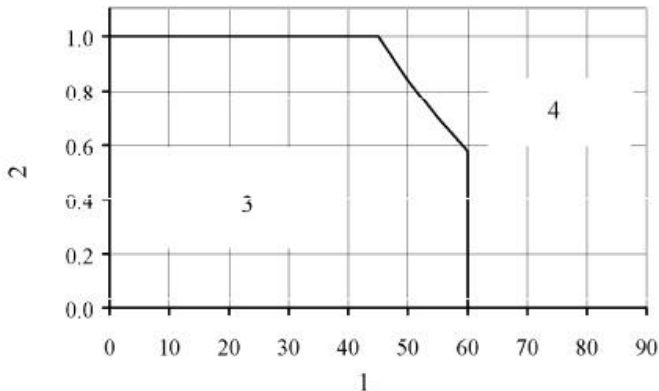
# EN 1991-4:2006: oblici isticanja za konusni levak



a) Conical hoppers



# Oblici isticanja za piramidalni levak



b) Wedge hoppers



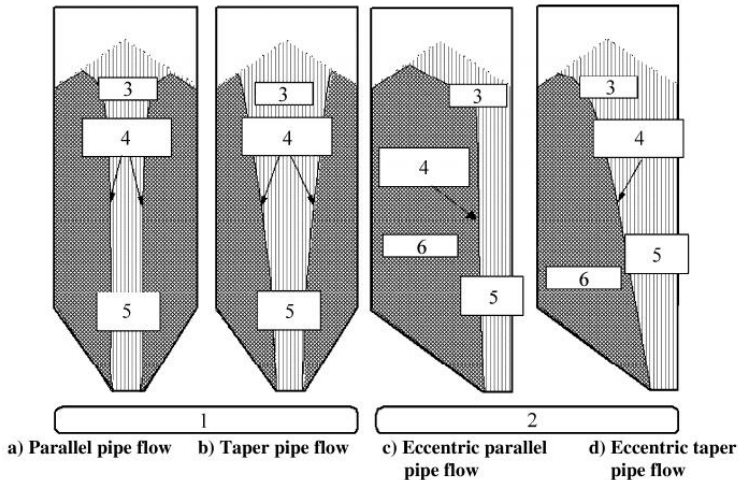
# Proračun silosa prema EN 1991-4:2006

## EN 1991-4:2006 - oblici isticanja kroz levak

- Legenda uz prethodne slike:
  - ① ugao  $\beta$  između ose silosa i izvodnice levka (u stepenima)
  - ② koeficijent trenja  $\mu$  između zidova levka i materijala
  - ③ zona isticanja celom masom ("mass flow")
  - ④ sigurno isticanje kroz lanal ("funnel flow")
- U standardu EC1, deo 4, ne daju se odredbe koje bi garantovale isticanje celom masom



# EN 1991-4:2006: oblici isticanja kroz levak



# Proračun silosa prema EN 1991-4:2006

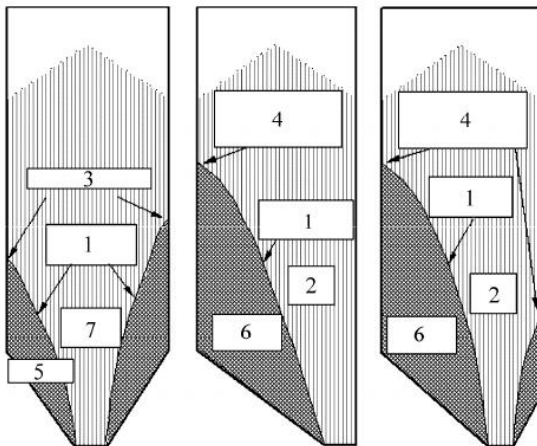
## EN 1991-4:2006 - oblici isticanja kroz levak

- Legenda uz prethodnu sliku:
  - 1 unutrašnje isticanje kroz levak
  - 2 ekscentrično isticanje kroz levak
  - 3 tečenje
  - 4 granica kanala tečenja
  - 5 levak tečenja
  - 6 stacionarno (miruje)
- Kod tečenja kroz levak, ili kod mešovitog isticanja, sa delimičnim kontaktom sa zidovima cilindričnog dela silosa, mogu da nastanu uslovi za nesimetrično isticanje





# EN 1991-4:2006: mešoviti oblici isticanja



a) Concentric mixed flow

b) Fully eccentric mixed flow

c) Partially eccentric mixed flow



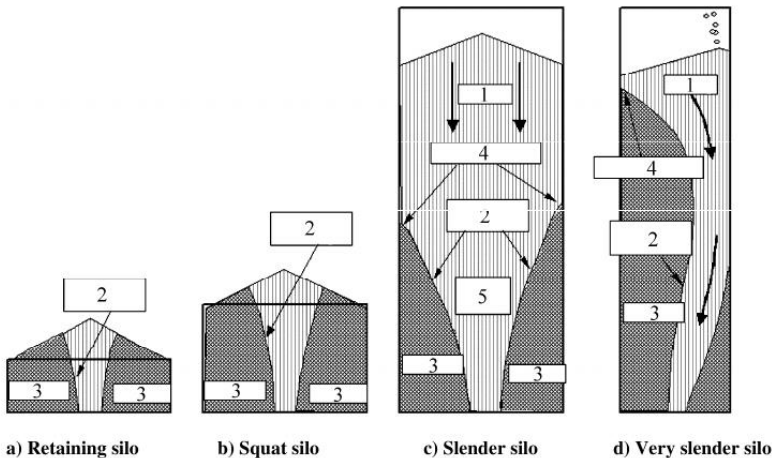
# Proračun silosa prema EN 1991-4:2006

## EN 1991-4:2006 - mešoviti oblici isticanja

- Legenda uz prethodnu sliku:
  - ① granica kanala isticanja
  - ② oblast tečenja
  - ③ efektivna prelazna zona
  - ④ efektivna prelazna zona - promenljiva po obimu
  - ⑤ stacionarno (miruje)
  - ⑥ stacionarno (miruje)
  - ⑦ efektivni levak
- Kada silos ima više otvora za isticanje materijala, treba da se razmatraju mogućnosti da se otvori koriste pojedinačno, ali i svi istovremeno



# EN 1991-4:2006 - uticaj vitkosti silosa na isticanje



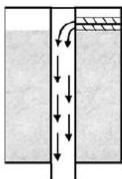
# Proračun silosa prema EN 1991-4:2006

## EN 1991-4:2006 - Uticaj vitkosti silosa na isticanje

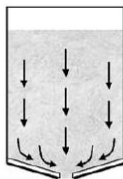
- Legenda uz prethodnu sliku:
  - 1 oblast tečenja materijala
  - 2 granica kanala isticanja
  - 3 stacionarno (miruje)
  - 4 efektivna prelazna zona
  - 5 efektivni levak



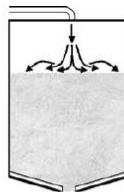
## Posebni načini punjenja i isticanja



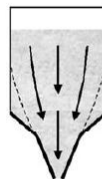
**a) mechanical discharge with concentric pressures**



**b) air injection and air slides promote mass flow**



**c) pneumatic filling of powders causes almost flat top surface**



**d) expanded flow hopper gives mass flow only in bottom hopper**

# Proračun silosa prema EN 1991-4:2006

## EN 1991-4:2006 - Posebni načini punjenja i isticanja

- Kada silos ima **aerisano dno** (slika (b)), donji deo silosa je "fluidizovan" stvarajući uslove za isticanje celom masom čak i za zdepaste silose
- U takvom slučaju proračun pritisaka u silosu usvaja se **kao za vitke** silose, bez obzira na stvarni odnos  $h_c/d_c$
- Kada je vitkost silosa  $h_c/d_c$  manja od 0.4, ako takav silos ima levak na dnu, onda je to zdepasti silos, a ako je ravno dno, onda je to potporni silos



# Sadržaj

- 1 Proračun silosa prema EN 1991-4:2006
  - Osnovne pretpostavke i klasifikacije prema EC1, deo 4
  - Karakteristike materijala u silosu
  - Vrste protoka materijala u silosu
- 2 Opterećenja na vertikalne zidove silosa
  - Opšte napomene
  - Vitki silosi - opterećenja pri punjenju
  - Vitki silosi - opterećenje pri pražnjenju
- 3 Vitki silosi - nastavak
  - Zamenjujući pritisci
  - Isticanje sa velikim ekscentricitetom: klasa AAC 2
  - Isticanje sa velikim ekscentricitetom: klasa AAC 3



# Opterećenja na vertikalne zidove silosa

## EN 1991-4:2006 - Opšte napomene

- Opterećenja na vertikalne zidove silosa određuju se u zavisnosti od **vitkosti silosa**  $h_c/d_c$
- U zavisnosti od odnosa visine cilindričnog dela silosa  $h_c$  i unutrašnjeg prečnika  $d_c$ , silosi se dele na 4 grupe:
  - 1 vitki silosi ("slender silos")

$$h_c/d_c \geq 2.0$$

- 2 umereno vitki silosi ("intermediate slenderness silos")

$$1.0 < h_c/d_c < 2.0$$





# Opterećenja na vertikalne zidove silosa

## EN 1991-4:2006 - Opšte napomene

- Podela silosa na grupe u zavisnosti od odnosa  $h_c/d_c$  (nastavak):

- ③ zdepasti silosi ("squat silos")

$$0.4 < h_c/d_c \leq 1.0$$

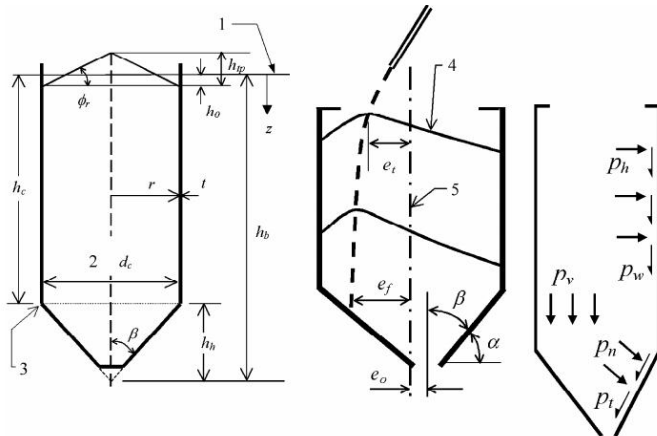
- ④ potporni silosi ("retaining silos")

$$h_c/d_c \leq 0.4$$

- Silosi sa sistemom za aeraciju tretiraju se kao vitki silosi bez obzira na odnos  $h_c/d_c$



# Evrokod 1 EN 1991-4:2006: geometrija silosa



**a) Geometry**

### b) Eccentricities

### c) Pressures and tractions



# Opterećenja na vertikalne zidove silosa

## EN 1991-4:2006 - Opšte napomene (principi)

- Opterećenje na vertikalne zidove silosa sastoji se iz istovremenog delovanja
  - **simetričnog opterećenja** ... stalno promenljivo opterećenje
  - **lokalnog opterećenja ("patch load")** ... slobodno promenljivo opterećenje
- Detaljna pravila za određivanje opterećenja pri punjenju i pri pražnjenju daju se u zavisnosti od vitkosti silosa
- **Dodatni slučajevi opterećenja** definišu se za posebne situacije:
  - kada postoji sistem za aeraciju, pa se fluidizuje materijal
  - kada može da se razvije temperaturna razlika između zidova silosa i materijala
  - kada je osnova cilindričnog dela silosa pravougaona

# Opterećenja na vertikalne zidove silosa

## EN 1991-4:2006 - Opšte napomene (principi)

- Kada postoje **veći ekscentriciteti** pri punjenju i/ili pražnjenju, definišu se posebni različiti slučajevi opterećenja
- Ovi slučajevi opterećenja ne deluju simultano sa simetričnim i lokalnim opterećenjem, već predstavljaju odvojene i različite slučajeve promenljivog opterećenja
- Kada može da se garantuje unutrašnji protok kroz levak, proračun može da se zasniva samo na opterećenjima pri punjenju, uključujući i lokalna opterećenja pri punjenju (gde odgovara)



# Sadržaj

- 1 Proračun silosa prema EN 1991-4:2006
  - Osnovne pretpostavke i klasifikacije prema EC1, deo 4
  - Karakteristike materijala u silosu
  - Vrste protoka materijala u silosu
- 2 Opterećenja na vertikalne zidove silosa
  - Opšte napomene
  - Vitki silosi - opterećenja pri punjenju
  - Vitki silosi - opterećenje pri pražnjenju
- 3 Vitki silosi - nastavak
  - Zamenjujući pritisci
  - Isticanje sa velikim ekscentricitetom: klasa AAC 2
  - Isticanje sa velikim ekscentricitetom: klasa AAC 3



# Opterećenja na vertikalne zidove silosa

## Vitki silosi - opterećenja pri punjenju

- **Simetrični pritisci pri punjenju** silosa dati su izrazima
  - **horizontalni** pritisak na zidove  $p_{hf}$ :

$$p_{hf}(z) = p_{h0} \cdot Y_j(z) \quad (2)$$

- **trenje** po zidovima silosa  $p_{wf}$ :

$$p_{wf}(z) = \mu p_{h0} \cdot Y_j(z) \quad (3)$$

- **vertikalni** pritisak u silosu  $p_{vf}$ :

$$p_{vf}(z) = \frac{p_{h0}}{K} \cdot Y_j(z) \quad (4)$$



# Opterećenja na vertikalne zidove silosa

## Vitki silosi - opterećenja pri punjenju

- U izrazima (2) do (4) uvedene su oznake:
  - najveći horizontalni pritisak

$$p_{h0} = \gamma K z_0 \quad (5)$$

- Jansenova dubina

$$z_0 = \frac{1}{K \mu} \cdot \frac{A}{U} \quad (6)$$

- funkcija raspodele po dubini

$$Y_j(z) = 1 - e^{-\frac{z}{z_0}} \quad (7)$$



# Opterećenja na vertikalne zidove silosa

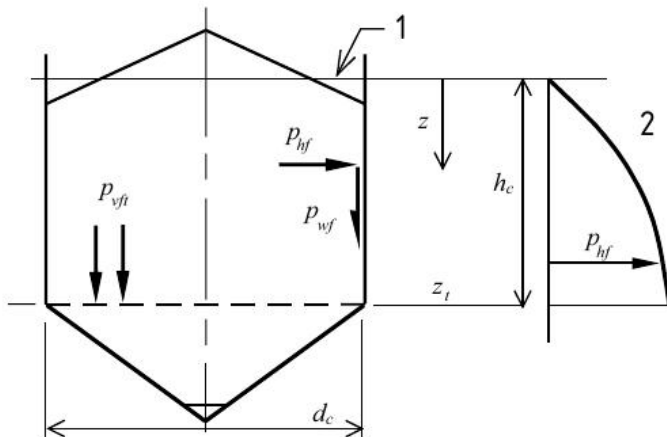
## Vitki silosi - opterećenja pri punjenju

- U izrazima (2) do (7) uvedene su oznake:
  - $\gamma$  ... karakteristična vrednost (gornja) zapreminske težine materijala
  - $\mu$  ... karakteristična vrednost koeficijenta trenja između materijala i zidova silosa
  - $K$  ... karakteristična vrednost odnosa horizontalnog i vertikalnog napona u materijalu
  - $z$  ... dubina u cilindričnom delu silosa mereno od ekvivalentne gornje površine materijala
  - $A$  ... površina unutrašnjeg poprečnog preseka silosa
  - $U$  ... obim unutrašnjeg poprečnog preseka silosa





# Simetrični pritisci pri punjenju



1 - ekvivalentna površina materijala      2 - pritisci na vertikalni zid

# Opterećenja na vertikalne zidove silosa

## Vitki silosi - opterećenja pri punjenju

- Rezultujuća karakteristična vrednost vertikalne sile pritiska u zidu silosa na nekoj dubini punjenja  $z$ , po jedinici obima zida silosa, dobija se kao

$$n_{zSk}(z) = \int_0^z p_{wf}(z) dz = \mu p_{h0}[z - z_0 Y_j(z)] \quad (8)$$

- Svi ovi izrazi su isti kao i u standardu SRPS ISO 11697, samo su donekle drugačije oznake
- Drugačije su i karakteristike materijala i koeficijenti trenja između zidova i uskladištenog materijla



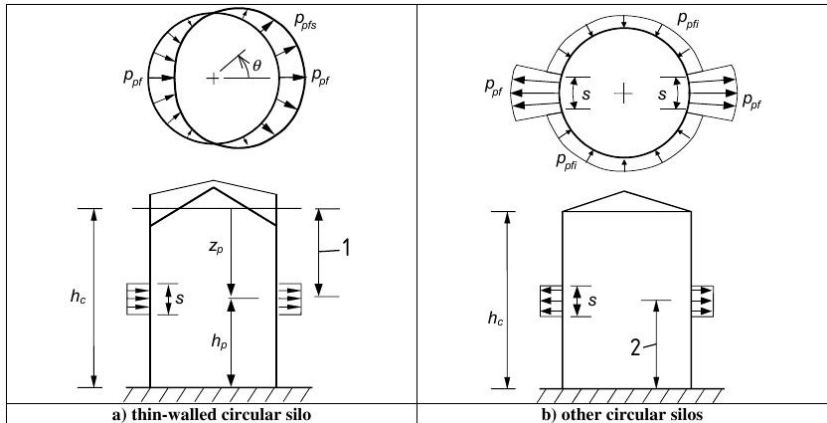
# Opterećenja na vertikalne zidove silosa

## Vitki silosi - opterećenja pri punjenju

- **Lokano opterećenje ("patch load") pri punjenju** koristi se da prikaže slučajne nesimetrije u opterećenju usled ekscentriciteta i imperfekcija prilikom punjenja
- Za silose u Klasi 1 ocene opterećenja ("Action Assessment Class 1") mogu da se ignorišu lokalna opterećenja pri punjenju
- Za silose koji su namenjeni za čuvanje praškastih materijala, sa aeracijom prilikom punjenja, lokalna opterećenja pri punjenju mogu da se zanemare
- Lokalno opterećenje pri punjenju prikazano je na sledećoj slici



# Lokalno opterećenje ("patch load") pri punjenju



(a) tankozidni (čelični) kružni silosi      (b) ostali (AB) kružni silosi



# Opterećenja na vertikalne zidove silosa

## Vitki silosi - opterećenja pri punjenju

- Objašnjenje o položaju lokalnog opterećenja:
  - 1 za zavarene silose u klasi AAC 2: manja vrednost od  $z_0$  i  $h_c/2$
  - 1 za ostale tankozidne silose u klasama AAC 2 i AAC 3: bilo gde
  - 2 bilo gde
- Intenzitet lokalnog opterećenja usmerenog od silosa  $p_{pf}$  usvaja se u zavisnosti od
  - $e_f$  ... ekscentriciteta na vrhu silosa pri punjenju
  - $p_{hf}$  ... intenziteta horizontalnog pritiska pri punjenju na mestu usvajanja lokalnog opterećenja
  - $C_{0p}$  ... referentnog faktora lokalnog opterećenja datog materijala (dato je u Tabeli E.1)



# Opterećenja na vertikalne zidove silosa

## Vitki silosi - opterećenja pri punjenju

- Intenzitet lokalnog opterećenja usmerenog od silosa  $p_{pf}$  dat je u obliku

$$p_{pf} = C_{pf} p_{hf} \quad (9)$$

gde je

$$C_{pf} = 0.21 C_{0p} (1 + 2E^2) \{1 - e^{[-1.5(h_c/d_c - 1)]}\} \quad (10)$$
$$E = 2 e_f / d_c$$

pri čemu je

- $e_f$  ... ekscentricitet punjenja na vrhu silosa
- $C_{0p}$  ... referentni faktor lokalnog opterećenja datog materijala (dato je u Tabeli E.1)



# Opterećenja na vertikalne zidove silosa

## Vitki silosi - opterećenja pri punjenju

- Visina sloja na koji se nanosi lokalno opterećenje jednaka je

$$s = \frac{\pi d_c}{16} \approx 0.2 d_c \quad (11)$$

- Lokalno opterećenje se prikazuje samo kao normalno horizontalno opterećenje  $p_n$
- Ne uzima se u obzir nikakva promena u smičućim silama u pravcu zida zbog nanetih normalnih lokalnih sila
- Oblik lokalnog opterećenja pri punjenju zavisi od oblika i konstrukcije silosa



# Opterećenja na vertikalne zidove silosa

## Vitki silosi - opterećenja pri punjenju

- Za **AB silose** kružno-cilindričnog oblika intenzitet lokalnog pritiska  $p_{pf}$ , prema (9), usvaja se na dve radijalno raspoređene lokacije visine i širine po  $s$ , prema prethodnoj slici (b)
- Kao dodatak na lokalno opterećenje koje je usmereno od silosa, na ostatku obima silosa usvaja se normalno opterećenje sa smerom ka silosu i intenziteta

$$p_{pfi} = \frac{p_{pf}}{7}$$

gde je  $p_{pf}$  lokalno opterećenje dato sa (9)





# Opterećenja na vertikalne zidove silosa

## Vitki silosi - opterećenja pri punjenju

- Za **tankozidne (čelične) silose** kružno-cilindričnog oblika, u klasama AAC 2 i 3, kod kojih je  $d_c/t > 200$  lokalni pritisak je raspoređen u sloju debljine  $s$  prema slici (a)
- Najveći intenziteti lokalnog pritiska su  $\pm p_{pf}$ , prema izrazu (9), a po obimu silosa intenzitet lokalnog opterećenja menja se po zakonu

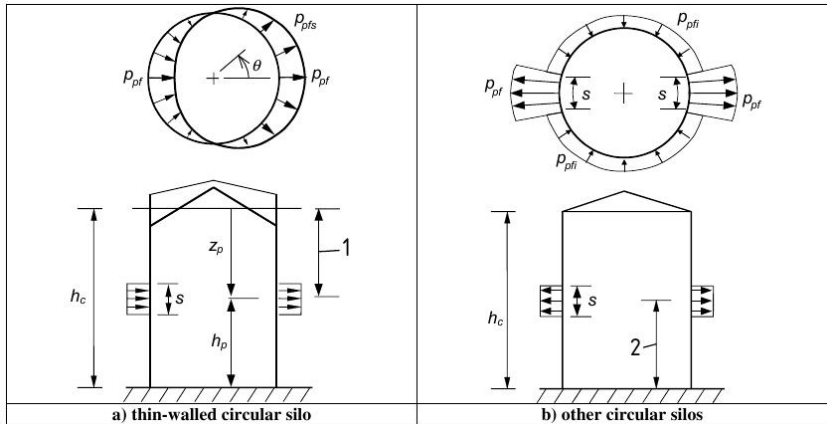
$$p_{pfs} = p_{pf} \cos \theta$$

gde je

- $p_{pf}$  ... pritisak dat sa (9)
- $\theta$  ... ugaona koordinata



# Lokalno opterećenje ("patch load") pri punjenju



(a) tankozidni (čelični) kružni silos      (b) ostali (AB) kružni silosi

# Opterećenja na vertikalne zidove silosa

## Vitki silosi - opterećenja pri punjenju

- Lokalno opterećenje za betonske silose je uravnoteženo, dok je rezultanta lokalnog opterećenja za čelične silose jednaka

$$F_{pf} = \frac{\pi}{2} s d_c p_{pf}$$

- Za zavarene čelične silose u klasi AAC 2, lokalno opterećenje može da se usvoji na dubini  $z_p$ :

$$z_p = \min \begin{cases} z_0 & \text{Jansenova dubina} \\ \frac{h_c}{2} & \text{polovina visine cilindra} \end{cases}$$



# Opterećenja na vertikalne zidove silosa

## Vitki silosi - opterećenja pri punjenju

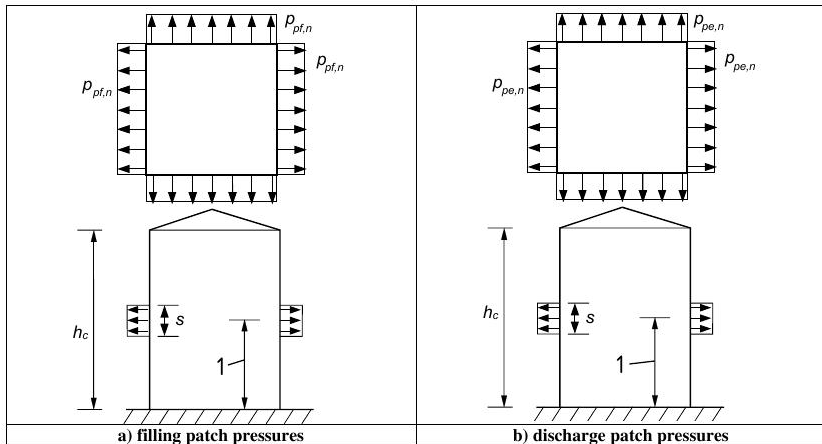
- Lokalno opterećenje pri punjenju za silose koji **nisu kružnog preseka**, u klasama AAC 2 i AAC 3, uzima se kao povećanje simetričnog pritiska
- Na širini sloja  $s$ , datim sa (11), usvojeno na bilo kojoj visini silosa, usvaja se simetričan pritisak intenziteta

$$p_{pf,nc} = 0.36 p_{pf}$$

gde je  $p_{pf}$  lokalni pritisak pri punjenju dat sa (9), a  $d_c$  je odgovarajuća ekvivalentna dimenzija silosa koji nema kružni presek



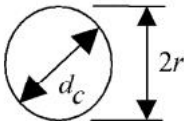
# Lokalno opterećenje ("patch load") pri punjenju



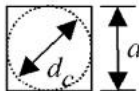
Lokalni pritisci ("patch load") pri punjenju (a) i pri pražnjenju (b)

# Evrokod 1 EN 1991-4:2006: poprečni preseči

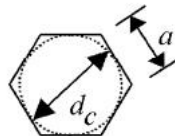
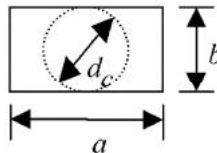
$$A/U = r/2$$



$$A/U = a/4$$



$$A/U = (b/2) / (1 + b/a)$$



$$A/U = \sqrt{3} (a/4) = d_c/4$$

d) Cross-section shapes



# Sadržaj

- 1 Proračun silosa prema EN 1991-4:2006
  - Osnovne pretpostavke i klasifikacije prema EC1, deo 4
  - Karakteristike materijala u silosu
  - Vrste protoka materijala u silosu
- 2 Opterećenja na vertikalne zidove silosa
  - Opšte napomene
  - Vitki silosi - opterećenja pri punjenju
  - Vitki silosi - opterećenje pri pražnjenju
- 3 Vitki silosi - nastavak
  - Zamenjujući pritisci
  - Isticanje sa velikim ekscentricitetom: klasa AAC 2
  - Isticanje sa velikim ekscentricitetom: klasa AAC 3



# Opterećenja na vertikalne zidove silosa

## Vitki silosi - opterećenja pri pražnjenju

- **Opterećenje pri pražnjenju** silosa prikazuje se kao
  - simetrično opterećenje pri pražnjenju
  - lokalno opterećenje pri pražnjenju
- **Simetrično opterećenje pri pražnjenju**, za sve klase AAC, prikazuju se u obliku

$$p_{he} = C_h p_{hf} \quad p_{we} = C_w p_{wf} \quad (12)$$

gde su

- $C_h$  ... faktor pražnjenja za horizontalna opterećenja
- $C_w$  ... faktor pražnjenja za trenje sa zidovima





# Opterećenja na vertikalne zidove silosa

## Vitki silosi - opterećenja pri pražnjenju

- Za silose u svim AAC klasama koji se **prazne sa vrha** (nema tečenja u uskladištenom materijalu), usvaja se da su faktori pražnjenja jednaki jedinici:

$$C_h = C_w = 1.0$$

- Za sve vitke silose u klasama AAC 2 i AAC 3, faktori pražnjenja usvajaju se kao

$$C_h = C_0 = 1.15 \quad C_w = 1.10$$

gde je  $C_0$  faktor pražnjenja koji je jednak  $C_0 = 1.15$  za sve materijale



# Opterećenja na vertikalne zidove silosa

## Vitki silosi - opterećenja pri pražnjenju

- Kod vitkih silosa klase AAC 1, gde se koriste srednje vrednosti  $K$  i  $\mu$ , faktori rasterećenja usvajaju se u obliku:

$$\begin{aligned}C_h &= 1.15 + 1.5 (1 + 0.4 e/d_c) C_{0p} \\C_w &= 1.4 (1 + 0.4 e/d_c) \\e &= \max(e_f, e_o)\end{aligned}\tag{13}$$

gde je

- $e_f$  ... najveći ekscentricitet pri punjenju
- $e_o$  ... ekscentricitet pri pražnjenju
- $C_{0p}$  ... referentni faktor lokalnog opterećenja za dati materijal (dato u Tabeli E.1)

# Opterećenja na vertikalne zidove silosa

## Vitki silosi - opterećenja pri pražnjenju

- **Lokalna opterećenja pri isticanju** ("discharge patch loads") služe da se prikažu slučajne nesimetrije tokom rasterećenja, kao i ekscentriciteti punjenja i pražnjenja
- Za silose u klasi AAC 1, lokalna opterećenja pri pražnjenju ne moraju da se posmatraju
- **Referentna vrednost** spoljašnjeg lokalnog pritiska pri pražnjenju  $p_{pe}$  data je sa

$$p_{pe} = C_{pe} p_{he} \quad (14)$$



# Opterećenja na vertikalne zidove silosa

## Vitki silosi - opterećenja pri pražnjenju

- Koeficijent pritiska  $C_{pe}$  u izrazu (14) dat je u obliku:
  - za odnos  $h_c/d_c > 1.2$

$$C_{pe} = 0.42 C_{0p} (1 + 2E^2) \{1 - e^{[-1.5(h_c/d_c - 1)]}\} \quad (15)$$

- za odnos  $h_c/d_c \leq 1.2$  usvaja se veća od vrednosti datih sa (15) i (16)

$$\begin{aligned} C_{pe} &= 0.272 C_{0p} (h_c/d_c - 1 + E) \\ C_{pe} &= 0 \end{aligned} \quad (16)$$



# Opterećenja na vertikalne zidove silosa

## Vitki silosi - opterećenja pri pražnjenju

- U izrazima (15) i (16) uvedene su oznake

$$E = 2 \cdot \frac{e}{d_c} \quad e = \max(e_f, e_o)$$

gde su:

- $e_f$  ... ekscentricitet pri punjenju
- $e_o$  ... ekscentricitet pri pražnjenju
- $p_{he}$  ... vrednost simetričnog horizontalnog pritiska pri isticanju na sredini sloja lokalnog opterećenja
- $C_{0p}$  ... referentni faktor lokalnog opterećenja za dati materijal, dat u Tabeli E.1



# Opterećenja na vertikalne zidove silosa

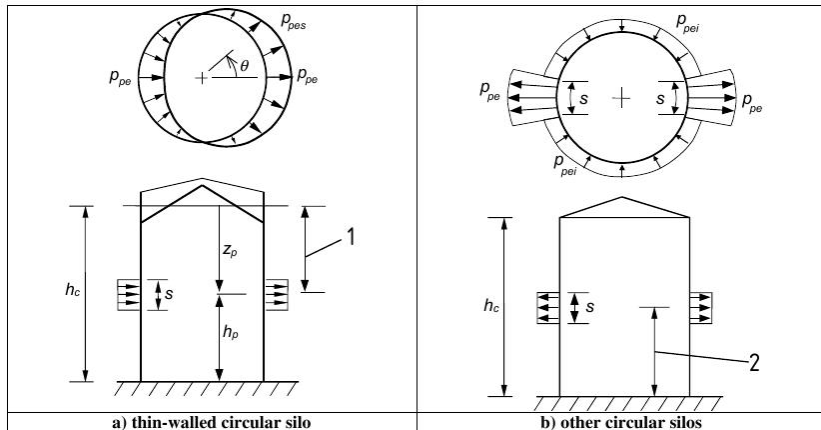
## Vitki silosi - opterećenja pri pražnjenju

- Oblik (zakon raspodele) lokalnog pritiska pri isticanju zavisi od vrste (od konstrukcije) silosa
- Za kružne silose sa debelim zidovima (za AB silose) lokalni normalni horizontalni pritisak  $p_{pe}$ , dat sa (14), usvaja se da deluje naspramno radijalno raspoređeno, sa smerom na spoljašnju stranu, na kvadratnim površinama stranice  $s$ , datim sa (11)
- Kao dodatak na taj lokalni pritisak na spoljašnju stranu, na celom preostalom obimu silosa na širini  $s$  usvaja se normalni horizontalni pritisak sa smerom ka centru silosa intenziteta

$$p_{pei} = \frac{p_{pe}}{7}$$



# Lokalno opterećenje ("patch load") pri pražnjenju



(a) tankozidni (čelični) kružni silos

(b) ostali (AB) kružni silosi

# Opterećenja na vertikalne zidove silosa

## Vitki silosi - opterećenja pri pražnjenju

- Za **tankozidne (čelične) silose** kružno-cilindričnog oblika, u klasama AAC 2 i 3, kod kojih je  $d_c/t > 200$  lokalni pritisak je raspoređen u sloju debljine  $s$  prema slici (a)
- Najveći intenziteti lokalnog pritiska su  $\pm p_{pe}$ , prema izrazu (14), a po obimu silosa intenzitet lokalnog opterećenja menja se po zakonu

$$p_{pes} = p_{pe} \cos \theta$$

gde je

- $p_{pe}$  ... pritisak dat sa (14)
- $\theta$  ... ugaona koordinata





# Opterećenja na vertikalne zidove silosa

## Vitki silosi - opterećenja pri pražnjenju

- Lokalno opterećenje za betonske silose je uravnoteženo, dok je rezultanta lokalnog opterećenja za čelične silose jednaka

$$F_{pe} = \frac{\pi}{2} s d_c p_{pe}$$

- Za zavarene čelične silose u klasi AAC 2, lokalno opterećenje može da se usvoji na dubini  $z_p$ :

$$z_p = \min \begin{cases} z_0 & \text{Jansenova dubina} \\ \frac{h_c}{2} & \text{polovina visine cilindra} \end{cases}$$



# Opterećenja na vertikalne zidove silosa

## Vitki silosi - opterećenja pri pražnjenju

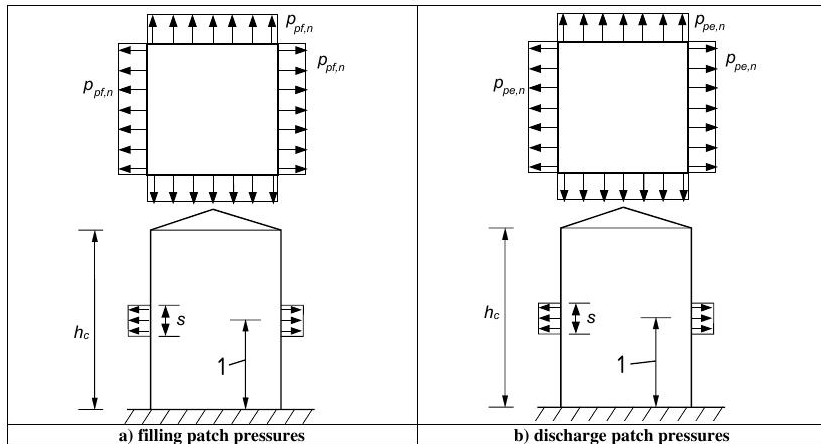
- **Lokalno opterećenje** pri pražnjenju za silose koji **nisu kružnog preseka**, u klasama AAC 2 i AAC 3, uzima se **kao povećanje simetričnog pritiska**
- Na širini sloja  $s$ , datim sa (11), usvojeno na bilo kojoj visini silosa, usvaja se simetričan pritisak intenziteta

$$p_{pe,nc} = 0.36 p_{pe}$$

gde je  $p_{pe}$  lokalni pritisak pri pražnjenju dat sa (14), a  $d_c$  je odgovarajuća ekvivalentna dimenzija silosa koji nema kružni presek



# Lokalno opterećenje ("patch load") pri pražnjenju



Lokalni pritisci ("patch load") pri punjenju (a) i pri pražnjenju (b)

# Sadržaj

- 1 Proračun silosa prema EN 1991-4:2006
  - Osnovne pretpostavke i klasifikacije prema EC1, deo 4
  - Karakteristike materijala u silosu
  - Vrste protoka materijala u silosu
- 2 Opterećenja na vertikalne zidove silosa
  - Opšte napomene
  - Vitki silosi - opterećenja pri punjenju
  - Vitki silosi - opterećenje pri pražnjenju
- 3 Vitki silosi - nastavak
  - Zamenjujući pritisci
  - Isticanje sa velikim ekscentricitetom: klasa AAC 2
  - Isticanje sa velikim ekscentricitetom: klasa AAC 3



# Evrokod 1 EN 1991-4:2006

Table 2.1: Recommended classification of silos for action assessments

Action Assessment Class	Description
Action Assessment Class 3	Silos with capacity in excess of 10 000 tonnes Silos with capacity in excess of 1000 tonnes in which any of the following design situations occur: a) eccentric discharge with $e_f/d_c > 0,25$ (see figure 1.1b) b) squat silos with top surface eccentricity with $e_f/d_c > 0,25$
Action Assessment Class 2	All silos covered by this standard and not placed in another class
Action Assessment Class 1	Silos with capacity below 100 tonnes

Preporučena klasifikacija silosa prema oceni dejstava na silose



# Opterećenja na vertikalne zidove vitkih silosa

## Zamenjujuće ravnomerno povećanje pritisaka

- Za silose u klasi AAC 2 nesimetrična opterećenja prilikom punjenja i pražnjenja silosa mogu da se uzmu u obzir **zamenjujućim ravnomernim povećanjem simetričnog opterećenja**
- Za silose koji nisu kružno-cilindričnog preseka, zamenjujuće ravnomerno povećanje simetričnih pritisaka već je prikazano:

$$\begin{cases} p_{pf,nc} = 0.36 p_{pf} & \text{za punjenje} \\ p_{pe,nc} = 0.36 p_{pe} & \text{za pražnjenje} \end{cases}$$



# Opterećenja na vertikalne zidove vitkih silosa

## Zamenjujuće ravnomerno povećanje pritisaka

- Za kružno-cilindrične silose zamenjujuće povećanje pritisaka umesto lokalnih pritisaka pri punjenju i pražnjenju može da se primeni samo ako su vrh i kraj cilindričnog dela silosa dovoljno ukrućeni (ako imaju prsten za ukrućenje)
- Za silose sa debelim zidovima (**AB silosi**) rezultujuće ukupno horizontalno simetrično opterećenje pri punjenju (indeks  $f$ ) i pri pražnjenju (indeks  $e$ ) određuje se kao:

$$\begin{aligned} p_{hf,u} &= p_{hf} (1 + \zeta C_{pf}) \\ p_{he,u} &= p_{he} (1 + \zeta C_{pe}) \end{aligned} \quad (17)$$



# Opterećenja na vertikalne zidove vitkih silosa

## Zamenjujuće ravnomerno povećanje pritisaka

- U izrazima (17) uvedene su oznake
  - $\zeta$  ... koeficijent dat sa

$$\zeta = \max \begin{cases} 0.5 + 0.01 \frac{d_c}{t} \\ 1.0 \end{cases}$$

- dok su  $C_{pf}$  i  $C_{pe}$  faktori lokalnog opterećenja pri punjenju i pražnjenju, dati sa (10) i (15):

$$C_{pf} = 0.21 C_{0p} (1 + 2E^2) \{1 - e^{[-1.5(h_c/d_c - 1)]}\}$$

$$C_{pe} = 0.42 C_{0p} (1 + 2E^2) \{1 - e^{[-1.5(h_c/d_c - 1)]}\}$$

$$E = 2e_f/d_c \quad \text{ili} \quad E = 2e_e/d_c$$



# Opterećenja na vertikalne zidove vitkih silosa

## Zamenjujuće ravnomerno povećanje pritisaka

- Takođe, sa  $p_{hf}$  i  $p_{he}$  označeni su horizontalni pritisci pri punjenju i pražnjenju, dati sa (2) i (12):

$$p_{hf}(z) = p_{h0} Y_j(z) = p_{h0} (1 - e^{-\frac{z}{z_0}})$$
$$p_{he}(z) = C_h p_{hf}(z)$$

- Za **tankozidne (čelične) silose** rezultujući ukupni simetrični horizontalni pritisci za punjenje  $p_{hf,u}$  i za pražnjenje  $p_{he,u}$ , kao i rezultujuće ukupne smičuće sile po zidovima pri punjenju  $p_{wf,u}$  i pri pražnjenju  $p_{we,u}$ , dati su u obliku:

$$\begin{aligned} p_{hf,u} &= p_{hf} (1 + 0.5 C_{pf}) & p_{wf,u} &= p_{wf} (1 + C_{pf}) \\ p_{he,u} &= p_{he} (1 + 0.5 C_{pf}) & p_{we,u} &= p_{we} (1 + C_{pe}) \end{aligned} \quad (18)$$



# Opterećenja na vertikalne zidove vitkih silosa

## Zamenjujuće ravnomerno povećanje pritisaka

- U izrazima (18) uvedene su oznake:
  - $p_{wf}$  ... simetrične sile smicanja po zidu u slučaju punjenja, date sa (3)
  - $p_{we}$  ... simetrične sile smicanja po zidu u slučaju pražnjenja, date sa (12)

dok su ostale oznake date na prethodnim slajdovima u kontekstu ekvivalentnog simetričnog opterećenja



# Sadržaj

- 1 Proračun silosa prema EN 1991-4:2006
  - Osnovne pretpostavke i klasifikacije prema EC1, deo 4
  - Karakteristike materijala u silosu
  - Vrste protoka materijala u silosu
- 2 Opterećenja na vertikalne zidove silosa
  - Opšte napomene
  - Vitki silosi - opterećenja pri punjenju
  - Vitki silosi - opterećenje pri pražnjenju
- 3 Vitki silosi - nastavak
  - Zamenjujući pritisci
  - Isticanje sa velikim ekscentricitetom: klasa AAC 2
  - Isticanje sa velikim ekscentricitetom: klasa AAC 3



# Opterećenja na vertikalne zidove vitkih silosa

## Opterećenja pri isticanju sa velikim ekscentricitetom

- Definišu se posebne procedure za određivanje **pritisaka pri isticanju** u slučajevima velikog ekscentriciteta, za vitke silose kružno-cilindričnog oblika
- Ove procedure primenjuju se u slučajevima kada je
  - ① **ekscentricitet isticanja** veći od kritičnog:  $e_o > e_{o,cr} = 0.25d_c$  i kada je silos klase AAC 2 ili AAC 3
  - ② **ekscentricitet punjenja** veći od kritičnog:  $e_f > e_{f,cr} = 0.25d_c$ , kade je vitkost silosa veća od 4.0:  $h_c/d_c \geq 4.0$  i kada je silos klase AAC 2 ili AAC 3
- U tim slučajevima u određivanju pritisaka koristi se
  - donja karakteristika koeficijenta trenja  $\mu$
  - gornja karakteristika ugla unutrašnjeg trenja  $\Phi_i$

# Opterećenja na vertikalne zidove vitkih silosa

## Opterećenja pri isticanju sa velikim ekscentricitetom: klasa AAC 2

- Proračun pritisaka vrši se samo za jednu veličinu kontakta levka tečenja sa zidom silosa, koja se određuje ze **centralni** ugao  $\theta_c = 35^\circ$
- **Pritisci pri ekscentričnom isticanju** usvajaju se na sledeći način:
  - horizontalni pritisci na delu zida u zoni kanala isticanja

$$p_{hce} = 0$$

- horizontalni pritisci na delu zida izvan kanala (gde materijal miruje), videti sliku 5.5c

$$p_{hse} = p_{hf} \quad p_{hae} = 2p_{hf}$$

# Opterećenja na vertikalne zidove vitkih silosa

## Opterećenja pri isticanju sa velikim ekscentricitetom: klasa AAC 2

- Takođe se usvajaju i sile smicanja po zidu na delu izvan kanala isticanja (gde materijal miruje)

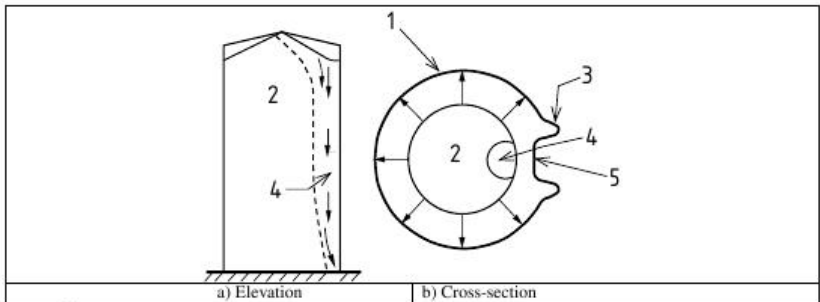
$$p_{wse} = p_{wf} \quad p_{wae} = 2p_{wf}$$

gde je

- $p_{hf}$  ... horizontalni pritisak pri punjenju, dato sa (2)
- $p_{wf}$  ... sile smicanja pri punjenju, dato sa (3)



# Ekscentričan kanal isticanja i pritisci na zidove



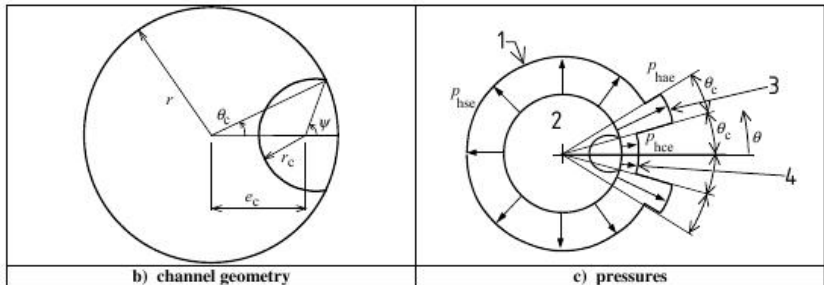
## Key

- 1 Static pressures
- 2 Static solid
- 3 Local high pressure
- 4 Flow channel
- 5 Flow pressure

a) flow channel and pressure pattern



# Ekscentričan kanal isticanja i pritisci na zidove



## Key

- 1 Static pressures
- 2 Static solid
- 3 Channel edge pressures
- 4 Flow channel pressures

Figure 5.5: Eccentric discharge flow channel and pressure distribution





# Sadržaj

- 1 Proračun silosa prema EN 1991-4:2006
  - Osnovne pretpostavke i klasifikacije prema EC1, deo 4
  - Karakteristike materijala u silosu
  - Vrste protoka materijala u silosu
- 2 Opterećenja na vertikalne zidove silosa
  - Opšte napomene
  - Vitki silosi - opterećenja pri punjenju
  - Vitki silosi - opterećenje pri pražnjenju
- 3 Vitki silosi - nastavak
  - Zamenjujući pritisci
  - Isticanje sa velikim ekscentricitetom: klasa AAC 2
  - Isticanje sa velikim ekscentricitetom: klasa AAC 3



# Opterećenja na vertikalne zidove vitkih silosa

## Pritisci pri isticanju sa velikim ekscentricitetom: klasa AAC 3

- Geometrija kanala isticanja i njegova lokacija treba da odgovaraju geometriji silosa, načinu isticanja i osobinama uskladištenog materijala
- Ukoliko je sistem za pražnjenje silosa takav da je jasno definisana geometrija i lokacija kanala isticanja, treba da se odrede odgovarajući parametri za takav kanal isticanja
- Mali problem: ne kaze se KAKO!



# Opterećenja na vertikalne zidove vitkih silosa

## Pritisci pri isticanju sa velikim ekscentricitetom: klasa AAC 3

- Kada nije moguće da se geometrija i lokacija kanala isticanja dovoljno pouzdano odredi na bazi načina i opreme za pražnjenje, treba da se izvrše proračuni sa **ne manje od tri** različita **radijusa kanala isticanja**  $r_c$
- Na taj način uzimaju se u obzir slučajne varijacije u veličini kanala isticanja
- Ove tri veličine radijusa kanala isticanja usvajaju se u obliku

$$r_c = k_1 r \quad r_c = k_2 r \quad r_c = k_3 r \quad (19)$$

gde je  $r = d_c/2$  unutrašnji radijus cilindra silosa



# Opterećenja na vertikalne zidove vitkih silosa

## Pritisci pri isticanju sa velikim ekscentricitetom: klasa AAC 3

- Vrednosti **koeficijenata**  $k_i$  ( $i=1,2,3$ ) mogu da se usvoje u Nacionalnim aneksima za primenu Evrokodova
- Preporučene vrednosti su

$$k_1 = 0.25 \quad k_2 = 0.40 \quad k_3 = 0.60$$

- **Ekscentricitet kanala isticanja**  $e_c$  (videti sliku 5.5b) treba da se odredi prema izrazu:

$$e_c = r [\eta (1 - G) + (1 - \eta) \sqrt{1 - G}] \quad (20)$$



# Opterećenja na vertikalne zidove vitkih silosa

## Pritisci pri isticanju sa velikim ekscentricitetom: klasa AAC 3

- U izrazu (20) uvedene su oznake:

$$G = \frac{r_c}{r} \quad (\text{odn. } G = k_i) \quad \eta = \frac{\mu}{\tan \Phi_i} \quad (21)$$

gde je

- $\mu$  ... donja karakteristična vrednost koeficijenta trenja
- $\Phi_i$  ... gornja karakteristična vrednost ugla unutrašnjeg trenja
- $r_c$  ... radijus kanala isticanja materijala ( $r_c = k_i r$ )



# Opterećenja na vertikalne zidove vitkih silosa

## Pritisci pri isticanju sa velikim ekscentricitetom: klasa AAC 3

- Treba da se ima u vidu da je **ugao trenja**  $\Phi_w$  ( $\mu = \tan \Phi_w$ ) uvek manji od ugla unutrašnjeg trenja  $\Phi_i$ :

$$\Phi_w \leq \Phi_i$$

- U suprotnom, došlo bi do obrušavanja materijala uz zidove silosa (ako bi klizanje na kontaktu sa zidom zahtevalo veći smičući napon nego što unutrašnje trenje može da izdrži)
- Imajući ovo u vidu, **uvek je** zadovoljena relacija

$$\eta \leq 1.0$$



# Opterećenja na vertikalne zidove vitkih silosa

## Pritisci pri isticanju sa velikim ekscentricitetom: klasa AAC 3

- Centralni ugao kojim se definiše dužina luka obima silosa koja je u kontaktu sa kanalom isticanja je  $\theta = \pm\theta_c$ , gde je

$$\cos \theta_c = \frac{r^2 + \theta_c^2 - r_c^2}{2r\theta_c} \quad (22)$$

- Lučna dužina zone kontakta zida i kanala isticanja data sa

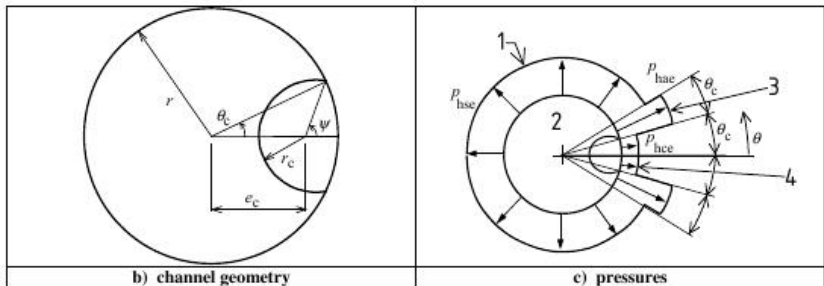
$$U_{wc} = 2 \cdot \theta_c \cdot r \quad (23)$$

dok je lučna dužina kontakta kanala isticanja i materijala koji miruje jednaka (videti sliku 5.5b)

$$U_{sc} = 2r_c(\pi - \psi) \quad (24)$$



# Ekscentričan kanal isticanja i pritisci na zidove



## Key

- 1 Static pressures
- 2 Static solid
- 3 Channel edge pressures
- 4 Flow channel pressures

Figure 5.5: Eccentric discharge flow channel and pressure distribution





# Opterećenja na vertikalne zidove vitkih silosa

## Pritisci pri isticanju sa velikim ekscentricitetom: klasa AAC 3

- U izrazu (24) ugao  $\psi$  određen je relacijom

$$\sin \psi = \frac{r}{r_c} \cdot \sin \theta_c \quad (25)$$

gde su uglovi  $\psi$  i  $\theta_i$  izraženi u radijanima

- Površina poprečnog preseka kanala isticanja data je sa

$$A_c = (\pi - \psi) \cdot r_c^2 + \theta_c \cdot r^2 - r \cdot r_c \cdot \sin(\psi - \theta_c) \quad (26)$$



# Opterećenja na vertikalne zidove vitkih silosa

## Pritisci pri isticanju sa velikim ekscentricitetom: klasa AAC 3

- **Pritisci na zidove usled ekscentričnog pražnjenja** zavise od rastojanja  $z$  od nivoa ekvivalentne površi:
  - horizontalni radijalni pritisci:

$$p_{hce} = p_{hc0} \cdot (1 - e^{-z/z_{0c}}) \quad (27)$$

- vertikalni pritisci usled trenja sa zidovima:

$$p_{wce} = \mu \cdot p_{hce} = \mu \cdot p_{hc0} \cdot (1 - e^{-z/z_{0c}}) \quad (28)$$



# Opterećenja na vertikalne zidove vitkih silosa

## Pritisci pri isticanju sa velikim ekscentricitetom: klasa AAC 3

- U relacijama (27) i (28) uvedene su oznake:

$$p_{hc0} = \gamma \cdot K \cdot z_{0c} \quad (29)$$

$$z_{0c} = \frac{1}{K} \cdot \frac{A_c}{U_{wc} \cdot \mu + U_{sc} \cdot \tan \Phi_i} \quad (30)$$

pri čemu su

- $\mu$  ... donja karakteristična vrednost koeficijenta trenja sa vertikalnim zidom
- $K$  ... koeficijent bočnog pritiska



# Opterećenja na vertikalne zidove vitkih silosa

## Pritisci pri isticanju sa velikim ekscentricitetom: klasa AAC 3

- Pritisak na na vertikalni zid na dubini  $z$  od ekvivalentne površi, izvan zone kanala isticanja, gde se materijal ponaša statično (odn. gde materijal miruje), treba da se uzme kao pritisak pri punjenju:

$$p_{hse} = p_{hf} \quad (31)$$

- Trenje uz zidove dato je sa

$$p_{wse} = p_{wf} \quad (32)$$

gde su  $p_{hf}$  i  $p_{wf}$  odgovarajući pritisci pri simetričnom punjenju materijala, dati sa (2) i (3)



# Opterećenja na vertikalne zidove vitkih silosa

## Pritisci pri isticanju sa velikim ekscentricitetom: klasa AAC 3

- Najzad, na mestima zona uz kanale isticanja, gde se javljaju koncentracije pritisaka, vrednosti tih povećanih pritisaka, na dužinama luka sa centralnim uglom  $\theta_c$ , iznose:
  - horizontalni radijalni pritisci:

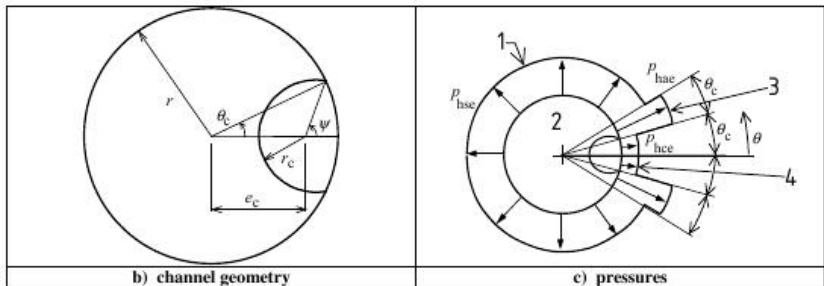
$$p_{hae} = 2 \cdot p_{hf} - p_{hce} \quad (33)$$

- vertikalni pritisci usled trenja sa zidovima:

$$p_{wae} = \mu \cdot p_{hae} \quad (34)$$



# Ekscentričan kanal isticanja i pritisci na zidove



## Key

- 1 Static pressures
- 2 Static solid
- 3 Channel edge pressures
- 4 Flow channel pressures

Figure 5.5: Eccentric discharge flow channel and pressure distribution